

Starkniederschlagshöhen und -spenden gemäß KOSTRA-DWD-2020

Rasterfeld 187151

(Zeile 187, Spalte 151)

Regenspende und Bemessungsniederschlagswerte in Abhängigkeit von Wiederkehrzeit T und Dauerstufe D

| Dauerstufe D | | Wiederkehrzeit T | | | | | | | | | | | | | | | | | |
|--------------|-----|------------------|------------|------|------------|------|------------|------|------------|------|------------|-------|------------|-------|------------|-------|------------|-------|------------|
| | | 1 a | | 2 a | | 3 a | | 5 a | | 10 a | | 20 a | | 30 a | | 50 a | | 100 a | |
| min | Std | mm | l / (s ha) | mm | l / (s ha) | mm | l / (s ha) | mm | l / (s ha) | mm | l / (s ha) | mm | l / (s ha) | mm | l / (s ha) | mm | l / (s ha) | mm | l / (s ha) |
| 5 | | 8,3 | 276,7 | 10,2 | 340,0 | 11,3 | 376,7 | 12,8 | 426,7 | 14,9 | 496,7 | 17,1 | 570,0 | 18,6 | 620,0 | 20,5 | 683,3 | 23,2 | 773,3 |
| 10 | | 10,4 | 173,3 | 12,7 | 211,7 | 14,1 | 235,0 | 16,0 | 266,7 | 18,7 | 311,7 | 21,4 | 356,7 | 23,2 | 386,7 | 25,6 | 426,7 | 29,0 | 483,3 |
| 15 | | 11,7 | 130,0 | 14,2 | 157,8 | 15,8 | 175,6 | 17,9 | 198,9 | 20,9 | 232,2 | 24,0 | 266,7 | 26,0 | 288,9 | 28,7 | 318,9 | 32,5 | 361,1 |
| 20 | | 12,6 | 105,0 | 15,3 | 127,5 | 17,1 | 142,5 | 19,3 | 160,8 | 22,6 | 188,3 | 25,9 | 215,8 | 28,1 | 234,2 | 31,0 | 258,3 | 35,1 | 292,5 |
| 30 | | 13,9 | 77,2 | 17,0 | 94,4 | 18,9 | 105,0 | 21,4 | 118,9 | 25,0 | 138,9 | 28,7 | 159,4 | 31,1 | 172,8 | 34,2 | 190,0 | 38,8 | 215,6 |
| 45 | | 15,3 | 56,7 | 18,7 | 69,3 | 20,8 | 77,0 | 23,5 | 87,0 | 27,5 | 101,9 | 31,6 | 117,0 | 34,2 | 126,7 | 37,7 | 139,6 | 42,7 | 158,1 |
| 60 | 1 | 16,4 | 45,6 | 20,0 | 55,6 | 22,2 | 61,7 | 25,2 | 70,0 | 29,4 | 81,7 | 33,7 | 93,6 | 36,6 | 101,7 | 40,3 | 111,9 | 45,7 | 126,9 |
| 90 | 1,5 | 18,0 | 33,3 | 21,9 | 40,6 | 24,4 | 45,2 | 27,6 | 51,1 | 32,2 | 59,6 | 37,0 | 68,5 | 40,1 | 74,3 | 44,2 | 81,9 | 50,1 | 92,8 |
| 120 | 2 | 19,2 | 26,7 | 23,4 | 32,5 | 26,0 | 36,1 | 29,4 | 40,8 | 34,4 | 47,8 | 39,5 | 54,9 | 42,8 | 59,4 | 47,2 | 65,6 | 53,4 | 74,2 |
| 180 | 3 | 21,0 | 19,4 | 25,6 | 23,7 | 28,4 | 26,3 | 32,2 | 29,8 | 37,6 | 34,8 | 43,2 | 40,0 | 46,8 | 43,3 | 51,6 | 47,8 | 58,5 | 54,2 |
| 240 | 4 | 22,3 | 15,5 | 27,3 | 19,0 | 30,3 | 21,0 | 34,3 | 23,8 | 40,1 | 27,8 | 46,0 | 31,9 | 49,9 | 34,7 | 55,0 | 38,2 | 62,3 | 43,3 |
| 360 | 6 | 24,4 | 11,3 | 29,8 | 13,8 | 33,1 | 15,3 | 37,5 | 17,4 | 43,8 | 20,3 | 50,3 | 23,3 | 54,5 | 25,2 | 60,1 | 27,8 | 68,1 | 31,5 |
| 540 | 9 | 26,7 | 8,2 | 32,5 | 10,0 | 36,2 | 11,2 | 41,0 | 12,7 | 47,8 | 14,8 | 54,9 | 16,9 | 59,6 | 18,4 | 65,6 | 20,2 | 74,4 | 23,0 |
| 720 | 12 | 28,4 | 6,6 | 34,6 | 8,0 | 38,5 | 8,9 | 43,6 | 10,1 | 50,9 | 11,8 | 58,5 | 13,5 | 63,4 | 14,7 | 69,9 | 16,2 | 79,2 | 18,3 |
| 1080 | 18 | 31,0 | 4,8 | 37,8 | 5,8 | 42,1 | 6,5 | 47,6 | 7,3 | 55,6 | 8,6 | 63,8 | 9,8 | 69,2 | 10,7 | 76,3 | 11,8 | 86,4 | 13,3 |
| 1440 | 24 | 33,0 | 3,8 | 40,3 | 4,7 | 44,8 | 5,2 | 50,7 | 5,9 | 59,2 | 6,9 | 67,9 | 7,9 | 73,7 | 8,5 | 81,2 | 9,4 | 92,0 | 10,6 |
| 2880 | 48 | 38,3 | 2,2 | 46,8 | 2,7 | 52,0 | 3,0 | 58,9 | 3,4 | 68,7 | 4,0 | 78,9 | 4,6 | 85,6 | 5,0 | 94,3 | 5,5 | 106,9 | 6,2 |
| 4320 | 72 | 41,9 | 1,6 | 51,1 | 2,0 | 56,8 | 2,2 | 64,2 | 2,5 | 75,0 | 2,9 | 86,2 | 3,3 | 93,4 | 3,6 | 103,0 | 4,0 | 116,7 | 4,5 |
| 5760 | 96 | 44,5 | 1,3 | 54,3 | 1,6 | 60,4 | 1,7 | 68,4 | 2,0 | 79,8 | 2,3 | 91,7 | 2,7 | 99,4 | 2,9 | 109,6 | 3,2 | 124,1 | 3,6 |
| 7200 | 120 | 46,7 | 1,1 | 57,0 | 1,3 | 63,4 | 1,5 | 71,7 | 1,7 | 83,8 | 1,9 | 96,2 | 2,2 | 104,3 | 2,4 | 115,0 | 2,7 | 130,3 | 3,0 |
| 8640 | 144 | 48,6 | 0,9 | 59,3 | 1,1 | 65,9 | 1,3 | 74,6 | 1,4 | 87,2 | 1,7 | 100,1 | 1,9 | 108,5 | 2,1 | 119,6 | 2,3 | 135,5 | 2,6 |
| 10080 | 168 | 50,3 | 0,8 | 61,3 | 1,0 | 68,2 | 1,1 | 77,2 | 1,3 | 90,1 | 1,5 | 103,5 | 1,7 | 112,2 | 1,9 | 123,7 | 2,0 | 140,1 | 2,3 |

Starkniederschlagshöhen und -spenden gemäß KOSTRA-DWD-2020

Rasterfeld 187151

(Zeile 187, Spalte 151)

Örtliche Unsicherheiten in Abhängigkeit von Wiederkehrzeit T und Dauerstufe D

| Dauerstufe D | | Wiederkehrzeit T | | | | | | | | |
|--------------|-----|------------------|-----|-----|-----|------|------|------|------|-------|
| | | 1 a | 2 a | 3 a | 5 a | 10 a | 20 a | 30 a | 50 a | 100 a |
| min | Std | ± % | ± % | ± % | ± % | ± % | ± % | ± % | ± % | ± % |
| 5 | | 13 | 13 | 14 | 14 | 15 | 15 | 16 | 16 | 16 |
| 10 | | 17 | 17 | 18 | 19 | 20 | 20 | 21 | 21 | 21 |
| 15 | | 19 | 20 | 20 | 21 | 22 | 22 | 23 | 23 | 24 |
| 20 | | 20 | 21 | 22 | 22 | 23 | 24 | 24 | 25 | 25 |
| 30 | | 21 | 22 | 23 | 23 | 24 | 25 | 25 | 26 | 26 |
| 45 | | 21 | 22 | 23 | 24 | 25 | 25 | 26 | 26 | 27 |
| 60 | 1 | 21 | 22 | 23 | 24 | 25 | 25 | 26 | 26 | 27 |
| 90 | 1,5 | 20 | 22 | 22 | 23 | 24 | 25 | 25 | 26 | 26 |
| 120 | 2 | 20 | 21 | 22 | 23 | 23 | 24 | 25 | 25 | 26 |
| 180 | 3 | 19 | 20 | 21 | 22 | 23 | 23 | 24 | 24 | 25 |
| 240 | 4 | 18 | 19 | 20 | 21 | 22 | 23 | 23 | 23 | 24 |
| 360 | 6 | 17 | 19 | 19 | 20 | 21 | 22 | 22 | 22 | 23 |
| 540 | 9 | 17 | 18 | 18 | 19 | 20 | 21 | 21 | 21 | 22 |
| 720 | 12 | 16 | 17 | 18 | 18 | 19 | 20 | 20 | 21 | 21 |
| 1080 | 18 | 15 | 16 | 17 | 18 | 18 | 19 | 19 | 20 | 20 |
| 1440 | 24 | 15 | 16 | 17 | 17 | 18 | 19 | 19 | 19 | 20 |
| 2880 | 48 | 15 | 15 | 16 | 16 | 17 | 18 | 18 | 18 | 19 |
| 4320 | 72 | 15 | 15 | 16 | 16 | 17 | 17 | 18 | 18 | 18 |
| 5760 | 96 | 15 | 15 | 16 | 16 | 17 | 17 | 17 | 18 | 18 |
| 7200 | 120 | 16 | 16 | 16 | 16 | 17 | 17 | 17 | 18 | 18 |
| 8640 | 144 | 16 | 16 | 16 | 16 | 17 | 17 | 17 | 18 | 18 |
| 10080 | 168 | 16 | 16 | 16 | 16 | 17 | 17 | 17 | 18 | 18 |

Parameter für abweichende T und D

Lokationsparameter ξ (Xi)

16,63644253

Skalenparameter α (Alpha)

5,08621412

Formparameter κ (Kappa)

-0,1

1. Koutsoyiannis-Parameter θ (Theta)

0,01822826

2. Koutsoyiannis-Parameter η (Eta)

0,78409079

Parameter für dauerstufenübergreifende Extremwertschätzung nach KOUTSOYIANNIS et al. 1998.

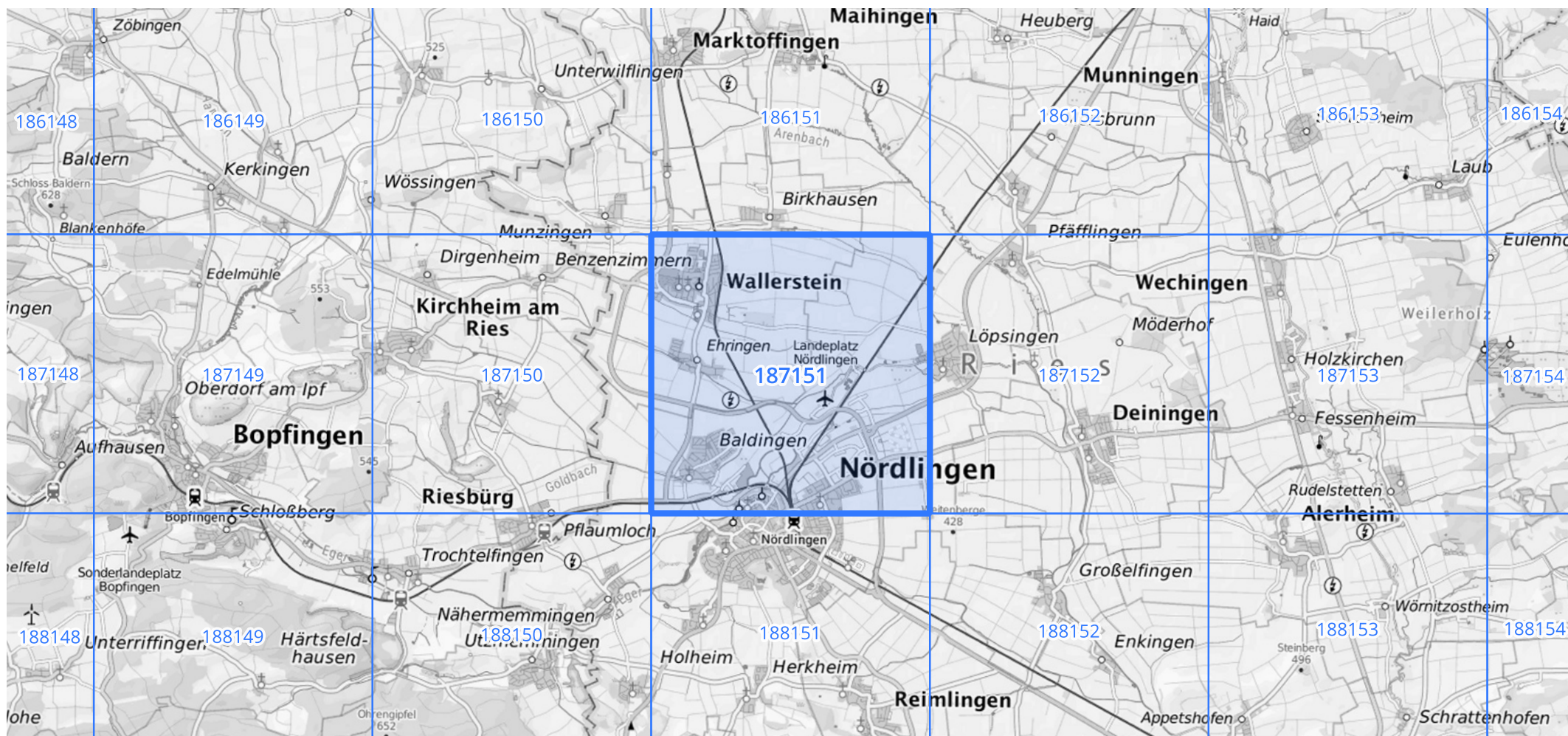
Siehe auch Anwendungshilfe zu KOSTRA-DWD-2020 des Deutschen Wetterdienstes.

Starkniederschlagshöhen und -spenden gemäß KOSTRA-DWD-2020

Rasterfeld 187151

(Zeile 187, Spalte 151)

Übersichtskarte des Rasterfeldes 187151, M 1 : 100 000



Quelle Rasterdaten: KOSTRA-DWD-2020 des Deutschen Wetterdienstes, Stand 12/2022.

Seite 3 von 3

Kartendarstellung: © Bundesamt für Kartographie und Geodäsie (2023), Datenquellen: https://sgx.geodatenzentrum.de/web_public/gdz/datenquellen/Datenquellen_TopPlusOpen.html

Für die Richtigkeit und Aktualität der Angaben wird keine Gewähr übernommen. Erstellt 01/2023.